Программируемый широкополосный генератор

Александр Барановский, Олег Дворников (г. Минск, Беларусь)

Рассмотрены схемотехнические особенности и результаты моделирования управляемого током полупроводникового генератора, формирующего треугольный и прямоугольный сигналы с частотой от 1 Гц до 40 МГц.

Неотъемлемой частью радиоэлектронной аппаратуры (РЭА) являются генераторы колебаний. Они применяются в любом измерительном приборе, системах управления оборудованием и различных устройствах, работа которых связана с периодическими состояниями или периодическими колебаниями. Реализация современной РЭА на основе систем на кристалле стимулировала работы по созданию полупроводниковых генераторов колебаний в виде ІР-компонентов, которые должны занимать небольшую площадь кристалла и быть максимально универсальными, т.е. обеспечивать генерацию сигналов различной формы и частоты с помощью минимального числа внешних времязадающих элементов и/или электронного программирования. Решение данной задачи путём использования метода прямого цифрового синтеза (DDS) затруднительно из-за необходимости применения генератора тактовой частоты [1, 2].

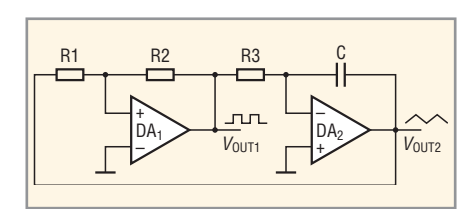


Рис. 1. Генератор треугольного и прямоугольного сигналов

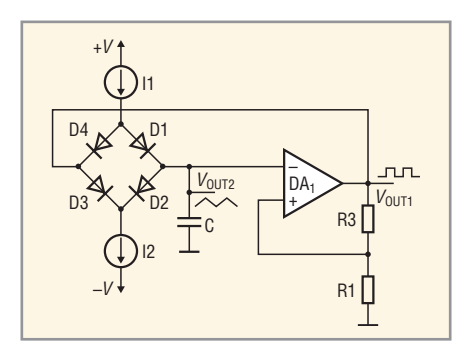


Рис. 2. Высокочастотный генератор треугольного и прямоугольного сигналов

Схемотехническая структура генераторов колебаний обычно представляет собой последовательное соединение интегратора (R, C, DA2 на рисунке 1) и тригтера Шмитта (R₁, R₂, DA₁), выполненных на операционных усилителях (ОУ) [3]. Выходное напряжение тригтера $V_{\rm OUT1}$ преобразуется резистором R в ток, который, протекая по конденсатору С, приводит к появлению на выходе операционного усилителя DA₂ линейно изменяющегося напряжения $V_{\rm OUT2}$ Когда напряжение $V_{\rm OUT2}$ достигает порога срабатывания тригтера Шмитта, его выходной уровень скачком изменяет состояние. В результате ток, протекающий через резистор R, и напряжение на выходе интегратора изменяются в противоположном направлении до второго порога срабатывания тригтера. Регулировка частоты треугольных колебаний осуществляется изменением постоянной времени интегратора, а амплитуды - гистерезисом триггера Шмитта. В то же время на выходе усилителя DA₁ генерируется сигнал прямоугольной формы с размахом, определяемым максимальным выходным напряжением ОУ.

К операционным усилителям, применяемым в генераторе (см. рис. 1), предъявляется ряд специальных требований. Для обеспечения симметричной формы треугольного сигнала входной ток усилителя DA2 должен быть значительно меньше тока заряда/разряда конденсатора С. Кроме того, на форму треугольных колебаний влияет быстродействие DA2, в результате для высокочастотных сигналов вершины треугольников закругляются вследствие ограничения скорости нарастания выходного напряжения ОУ. Схемотехника ОУ общего назначения, ориентированная на обеспечение высокого коэффициента усиления, не позволяет в полной мере использовать возможности технологического маршрута изготовления ИС для максимизации скорости нарастания.

По указанным причинам для формирования треугольных колебаний высокой частоты часто используется схема перезаряда конденсатора с помощью коммутируемых диодным мостом генераторов тока (рисунок 2) [3].

Моделирование такого генератора для транзисторных структур современных ИС позволило установить, что невысокое выходное сопротивление генераторов тока, обусловленное низким напряжением Эрли биполярных транзисторов [4], и паразитные ёмкости биполярных диодов (D_1 – D_4 на рис. 2) вызывают искажение формы треугольного сигнала высокой частоты.

Для формирования треугольных и прямоугольных колебаний на базовом матричном кристалле «АБМК_1_3» [5, 6] разработаны два варианта программируемых генераторов, отличающихся током потребления и диапазоном рабочих частот. Схемы генераторов (рисунки 3 и 4) базируются на ранее апробированных компонентах схемно-топологической библиотеки «АБМК_1_3»: программируемом ОУ типа Amplifier_5 и триггере Шмитта типа Shaper [6 – 8].

Применяемые в генераторах компоненты Amplifier_5 и Shaper обладают следующими особенностями:

- в программируемом ОУ [9] предусмотрены выводы Сог₁, Сог₂ для подключения внутреннего или внешнего конденсатора, номинал которого влияет на скорость нарастания выходного напряжения и вид амплитудно-частотной характеристики, обеспечивая работу ОУ без самовозбуждения. Если выводы Сог₁, Сог₂ соединены между собой, то ОУ характеризуется максимальным быстродействием;
- путём изменения сопротивления резистора Rbias, подключенного между выводами Bias₁ и Bias₂, осуществляется программирование основных параметров ОУ: входного тока, тока потребления, полосы пропускания и скорости нарастания выходного напряжения:

- выводы Bal_1 и Bal_2 предназначены для подстройки напряжения смещения ОУ с помощью внешних резисторов (на рисунке 3 к этим выводам подключены резисторы $R_1 = R_2 = 1$ ГОм, и балансировка ОУ не выполняется);
- изменение сопротивления внешнего резистора RTH, подключенного между выводами ThCntr и OUT-, в диапазоне от 100 Ом до 10 кОм позволяет изменять гистерезис компонента Shaper [9] в пределах от 307,2 до 39,1 мВ;
- наиболее важные для генераторов параметры ОУ иллюстрируют результаты схемотехнического моделирования, приведённые в таблице и на рисунках 5 и 6 (передаточная V(OUT) = f(V(IN)) и переходная V(OUT) = f(Time) характеристики при напряжении питания, равном $\pm 5 \text{ B}, R_{\text{BIAS}} = 0, R_{\text{bias}} = 10 \text{ кОм и сопротивлении внешней нагрузки } R_{\text{load}} = 2 \text{ кОм.}$ Переходная характеристика получена для инвертирующей схемы включения ОУ с $K_{\text{II}} = -1$).

Схемотехническое моделирование было выполнено с помощью системы проектирования OrCAD для элементов «АБМК_1_3». В связи с этим наименования переменных, узлов, осей и математические соотношения на рисунках соответствуют принятым в графическом постпроцессоре, входящем в OrCAD [10], а наименования элементов на электрических схемах – библиотеке «АБМК_1_3», причём требуемое сопротивление обеспечено с помощью последовательно-параллельного соединения доступных на БМК резисторов.

Разработанные генераторы имеют одинаковую схемотехническую структуру и состоят из:

- источника вытекающего тока (Q₂, Q₃), переключателя тока (Q₄, Q₇, Q₈), в которых транзисторы Q₃, Q₄, включенные по схеме с общей базой, предназначены для увеличения выходного малосигнального сопротивления [11], а цепи Q₅, Q₆, I₃, Vbias₁, Vbias₂ устанавливают требуемый режим работы транзисторов Q₃, Q₄;
- тригтера Шмитта на компоненте Amplifier_5 с установкой гистерезиса резистивным делителем R₃, R₄ (см. рис. 3) или компонента Shaper с установкой гистерезиса резистором Rth (см. рис. 4);
- резистивного делителя (R₈, R₉ на рис. 3, R₃, R₄ на рис. 4), который

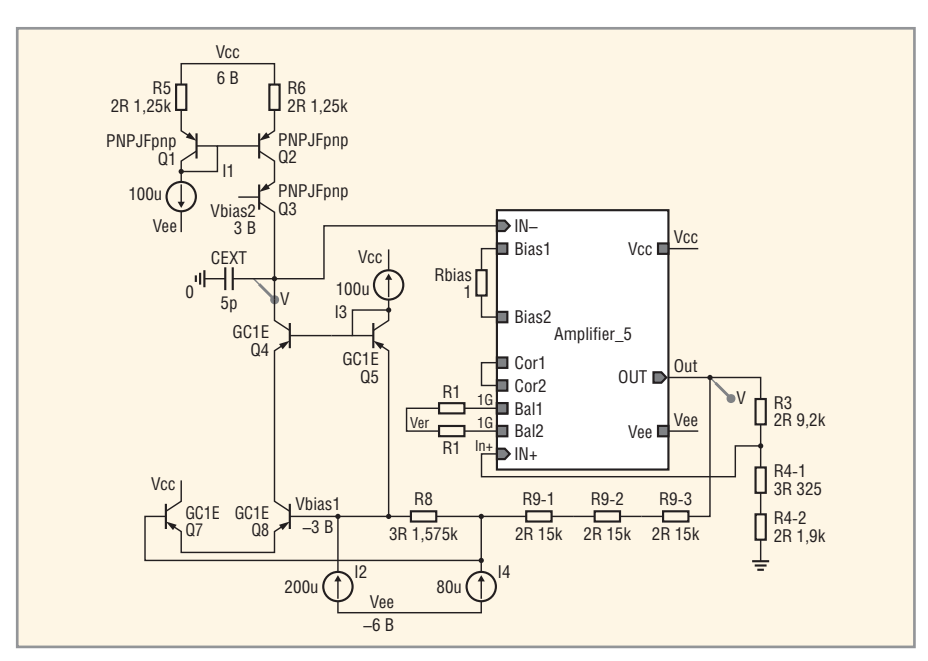


Рис. 3. Генератор сигналов на основе программируемого ОУ типа Amplifier_5 из библиотеки «АБМК_1_3»

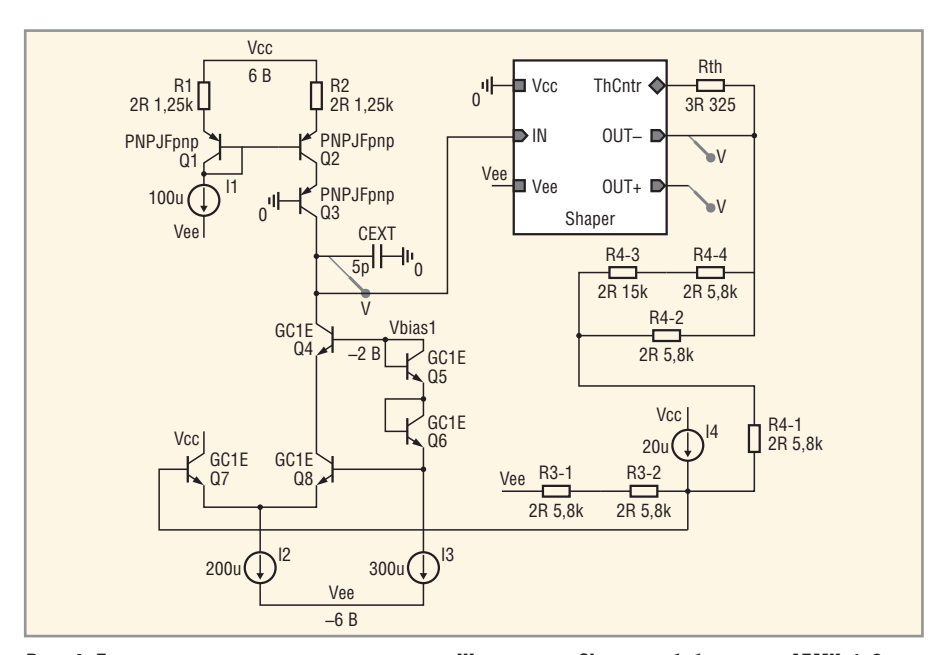


Рис. 4. Генератор сигналов на основе триггера Шмитта типа Shaper из библиотеки «АБМК_1_3»

обеспечивает на базе транзистора Q_7 размах импульсного напряжения V_{B7} , достаточный для его уверенного переключения. Подключение дополнительного источника тока I_4 сдвигает уровень напряжения таким образом, чтобы импульсы на базе Q_7 были симметричными относительно напряжения на

базе Q_8 (V_{B8}). Так, для схемы генератора, показанной на рис. 3, напряжение VB7 изменяется от -2,86 до -3,15 В при $V_{B8}=-3$ В, а для генератора по схеме рис. 4 напряжение V_{B7} изменяется от -3,18 до -3,73 В при $V_{B8}=-3,47$ В;

• задающих частоту колебаний источников тока I_1 и $I_2 = 2I_1$. Для тран-

Характеристики программируемого ОУ типа Amplifier_5 при $V_{\rm CC}$ =+5 B, $V_{\rm EE}$ = -5 B, $R_{\rm load}$ = 2 кОм

Наименование параметра	Величина при	
	$R_{\rm bias} = 0$	$R_{\rm bias} = 10 \text{ kOm}$
Коэффициент усиления дифференциального напряжения, дБ	72,4	65,5
Напряжение смещения нуля, мВ	-1,01	-9,6
Входной ток, мкА	1,88	0,23
Ток потребления, мА	2,1	0,43
Частота единичного усиления, МГц	137,4	28,1
Скорость нарастания/спада выходного напряжения, В/мкс	63/95	13,6/19,7

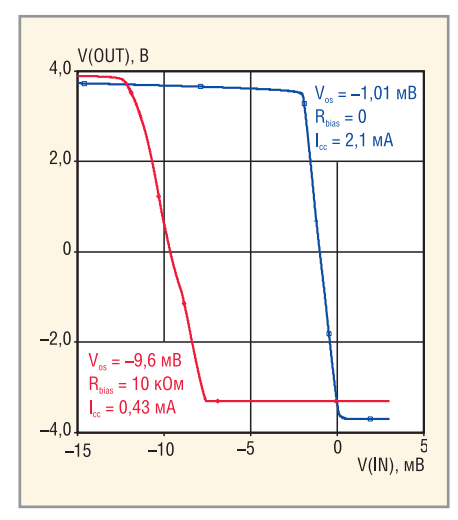


Рис. 5. Передаточная характеристика программируемого ОУ типа Amplifier_5 при $R_{\mathrm{load}} = 2 \ \mathrm{KOM}$

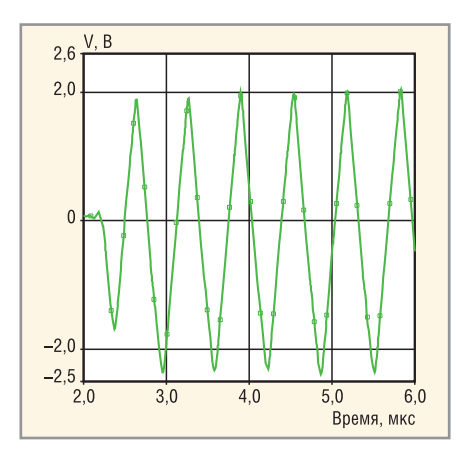


Рис. 7. Результаты моделирования генератора по схеме рис. 3 при $I_2=200$ мкА, $I_1=100$ мкА, $\mathbf{C}_{\mathrm{EXT}}=5$ пФ

зисторов «АБМК_1_3» и указанных на схемах режимов работы ток генератора I_1 рекомендуется выбирать в диапазоне от 5 мкА до 1 мА.

Источники тока I_1 и I_2 могут быть реализованы на внешних элементах, например, в виде последовательно соединённых высокоомных резисторов и источников постоянного напряжения, но для выполнения условия I_2 = $2I_1$ целесообразно их формирование в интегральном исполнении, как показано ниже. Конденсатор СЕХТ – внешний; его ёмкость совместно с номиналами то-емых колебаний. Треугольный сигнал V_{CEXT} формируется на сигнальной обкладке конденсатора СЕХТ, а прямоугольный сигнал - на выходе тригтера Шмитта (на рисунках 3 и 4 в этих узлах расположены маркеры напряжения V).

Рассмотрим функционирование схемы генератора, показанной на рисунке 3. Постоянный ток источника I_1 инвертируется токовым зеркалом на

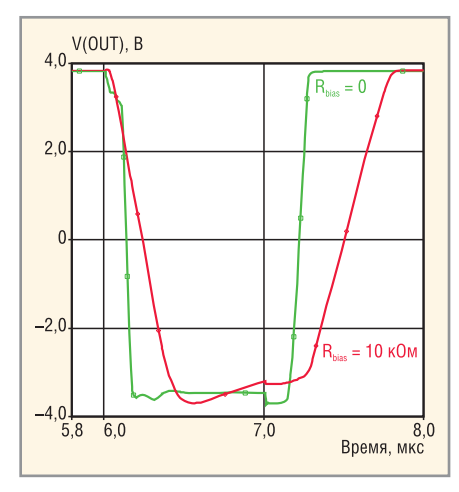


Рис. 6. Переходная характеристика программируемого ОУ типа Amplifier_5 при $R_{\rm load} = 2$ кОм и инвертирующем включении с коэффициентом передачи K = -1

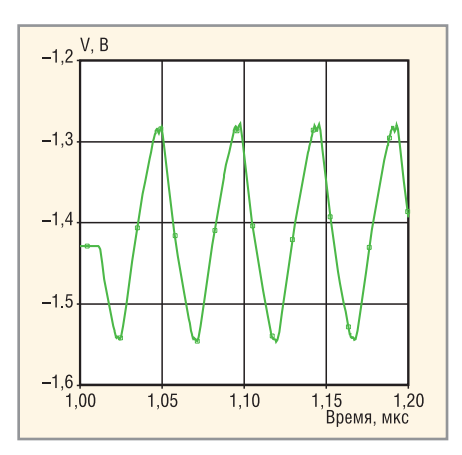


Рис. 8. Результаты моделирования генератора по схеме рис. 4 при $I_2=200$ мкА, $I_1=100$ мкА, $C_{\rm FYT}=5$ пФ

транзисторах Q_1 , Q_2 и поступает в эмиттер транзистора Q_3 . Резисторы R_5 и R_6 обеспечивают значение коэффициента передачи токового зеркала, близкое к единице в рабочем диапазоне температур, уменьшают влияние на коэффициент передачи разброса параметров интегральных элементов и увеличивают выходное сопротивление транзистора Q_2 .

Дополнительное увеличение выходного сопротивления источника тока позволяет реализовать транзистор Q_3 , включенный по схеме с общей базой, который можно рассматривать как источник тока с высокоомным сопротивлением (выходное сопротивление Q_2) в эмиттерной цепи [3]. Напряжение Vbias $_2$ выбрано так, чтобы гарантировать работу транзистора Q_2 в активном режиме при максимальном значении тока I_1 (максимальном падении напряжения на резисторе R_6), а транзистора Q_3 — при максимальной амплитуде напряжения на конденсаторе C_{EXT} .

Если напряжение на базе транзистора Q_7 больше, чем на базе Q_8 , т.е. $V_{\rm B7} > V_{\rm B8}$, ток источника I_2 переключается в эмиттер Q₇, коллекторный ток транзисторов Q_4, Q_8 отсутствует и конденсатор СЕХТ заряжается коллекторным током транзистора Q_3 ($I_{C3} \approx I_1$). Высокое выходное сопротивление транзистора Q₃ стабилизирует ток заряда конденсатора СЕХТ при линейно нарастающем напряжении V_{CEXT} . По достижении $V_{\rm CEXT}$ порога триггера Шмитта выходное напряжение триггера скачкообразно изменяется и через резистивный делитель R₈, R₉ поступает на базу транзистора Q_8 . При условии $V_{\mathrm{B7}} < V_{\mathrm{B8}}$ ток источника I_2 переключается в эмиттеры транзисторов Q₈, Q₄. Через конденсатор СЕХТ протекает разность коллекторных токов транзисторов Q₃, Q₄, и, поскольку выполняется условие $I_2 = 2I_1$, разряд конденсатора осуществляется током, равным $I_{\text{C4}} - I_{\text{C3}} \approx I_2 - I_1 \approx I_1$. Как и ранее, транзистор Q₄, включенный по схеме с общей базой, обеспечивает высокое выходное сопротивление источника тока, разряд конденсатора СЕХТ ПОСТОЯННЫМ ТОКОМ И ЛИНЕЙНОЕ уменьшение напряжения V_{CEXT} в процессе достижения второго порога тригтера Шмитта. Напряжение Vbias₁ выбрано так, чтобы транзистор Q4 находился в активном режиме при минимальном напряжении V_{CEXT}, а транзистор в диодном включении Q5 и источник тока I_3 предотвращают насыщение транзистора Q_8 , для которого $V_{CB8} \approx 0$.

Схемотехнические отличия генераторов, показанных на рисунках 3 и 4, обусловлены необходимостью согласования уровней напряжения ${
m V_{CEXT}}$ и ${
m V_{B8}}$ с допустимым входным и выходным напряжением компонентов Amplifier 5 (ОУ с биполярным входным и выходным напряжением) и Shaper (входные и выходные ЭСЛуровни). Целесообразность использования для реализации триггера Шмитта разных компонентов из библиотеки «АБМК_1_3» объясняется тем, что ОУ Amplifier_5 имеет относительно малые ток потребления (от 0,43 до 2,1 мА) и быстродействие, в то время как ток потребления (около 20 мА) и быстродействие компонента Shaper существенно больше. Так, при I_2 = 200 мкA, I_1 = 100 мкА и С_{ЕХТ} = 5 пФ генератор по схеме рис. 3 формирует треугольный сигнал с частотой 1,6 МГц (рисунок 7), а генератор по схеме рис. 4 - с частотой 20,8 МГц (рисунок 8).

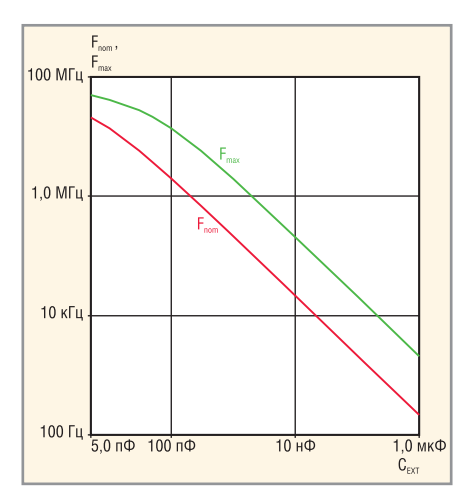


Рис. 9. Зависимость частоты колебаний генератора по схеме рис. 4 от ёмкости внешнего конденсатора при $I_1 = 0,1$ мА и 1 мА

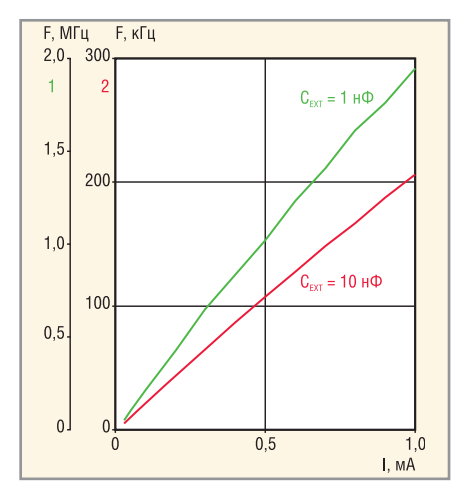


Рис. 10. Зависимость частоты колебаний генератора по схеме рис. 4 от тока источника I_1 при $I_2 = 2I_1$ и $G_{\rm EXT} = 1$ н Φ ; 10 н Φ

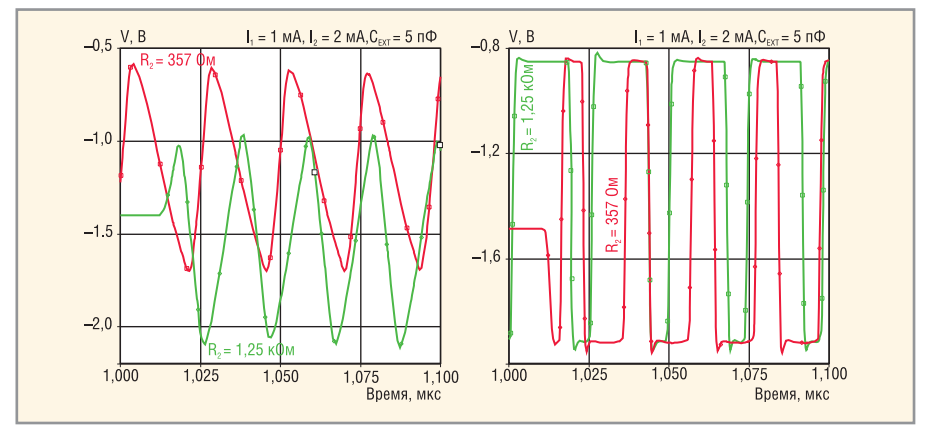


Рис. 11. Треугольные и прямоугольные колебания генератора по схеме рис. 4 при различных сопротивлениях резистора R_2 ($R_1 = 1,25$ кОм)

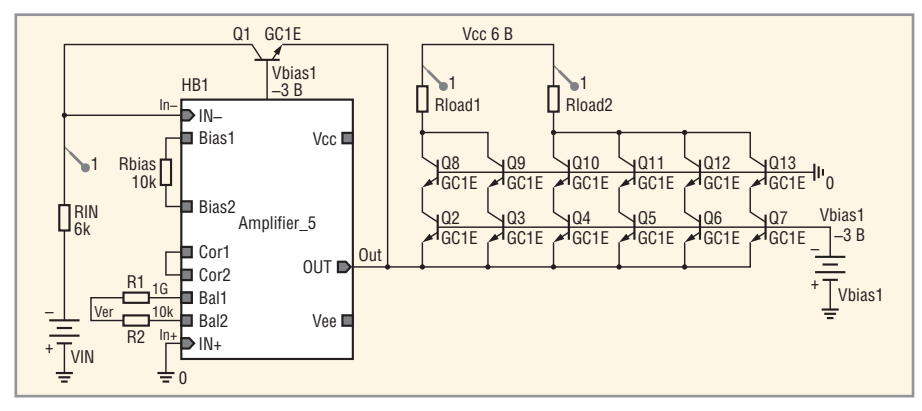


Рис. 12. Управляемый источник тока

Анализ результатов моделирования позволяет сделать вывод, что для генерации колебаний с частотой до 500 кПц целесообразно использовать генератор по схеме рис. 3, а для диапазона частот 1...40 МПц – генератор по схеме рис. 4, который обеспечивает линейную зависимость частоты от ёмкости внешнего конденсатора (рисунок 9) и тока (рисунок 10) в широком диапазоне их изменения.

Если изменить коэффициент передачи токового зеркала, например, с

помощью внешних резисторов, соединенных параллельно резисторам R_1 , R_2 на рисунке 4, ток заряда конденсатора $C_{\rm EXT}$ будет отличаться от тока разряда. Этот эффект можно использовать для управления формой треугольного и прямоугольного сигналов, как показано на рисунке 11, до максимальной частоты, равной 47,6 МГц.

В качестве источников втекающего тока I_1 и I_2 с соотношением значений I_2 = $2I_1$ допустимо применять токовые зеркала [12], в которых входной ток

устанавливается с помощью резистора и источника напряжения. Однако для значительного улучшения характеристик генераторов разработана схема управляемого источника тока, показанная на рисунке 12.

Управляемый источник тока включает ОУ Amplifier 5, охваченный отрицательной обратной связью (OOC) с помощью n-p-n-транзистора Q_I с общей базой. Вход ОУ через резистор R_{IN} соединён с источником входного (управляющего) напряжения $V_{\rm IN}$, а выход – с эмиттерами транзисторов Q2 - Q7, включенных по схеме с общей базой. Транзисторы в каскодном включении Q8 - Q13 предназначены для увеличения выходного сопротивления источника тока. Действие ООС приводит к тому, что на выходе ОУ устанавливается напряжение $V_{\rm OUT}$, смещающее эмиттерный переход транзистора Q_I в прямом направлении так, что выполняется условие:

$$I_{\rm IN} = I_{\rm BIAS} + I_{\rm C1},\tag{1}$$

где $I_{\rm IN}$ – ток, протекающий через резистор $R_{\rm IN}$; $I_{\rm BIAS}$ – входной ток инвертирующего (IN–) входа ОУ; $I_{\rm CI}$ – коллекторный ток транзистора ${\rm Q_I}$.

Для ОУ с замкнутой цепью ООС разность потенциалов между входами IN— и IN+ близка к нулю. Кроме того, обычно выполняется условие $I_{\rm BIAS} << I_{\rm IN}$, поэтому, исходя из (1) и модели Гуммеля-Пуна для биполярного транзистора [6], получим соотношения:

$$I_{\text{C1}} \approx I_{\text{IN}} = \frac{V_{\text{IN}} - V_{-}}{R_{\text{IN}}} \approx \frac{V_{\text{IN}}}{R_{\text{IN}}}, \quad (2)$$

$$V_{\text{OUT}} = V_{\text{BIAS1}} - V_{\text{BE1}} = V_{\text{BIAS1}} - \frac{I_{\text{C1}}}{IS},$$

$$-NF\phi_T \ln \frac{I_{\text{C1}}}{IS},$$
(3)

где V_- – напряжение на инвертирующем входе OV; $V_{\rm BIAS1}$ – напряжение источника; $V_{\rm BEI}$ – напряжение на прямо смещенном эмиттерном переходе транзистора $Q_{\rm I}$; NF – фактор, описывающий отклонение вольтамперной характеристики р–п-перехода от экспоненты; IS – ток в модели Гуммеля-Пуна, характеризующий перенос не основных носителей заряда через базу транзистора; $\phi_{\rm T}$ – температурный потенциал, $\phi_{\rm T}=kT/q$; k – постоянная Больцмана; T – абсолютная температура; q – заряд электрона.

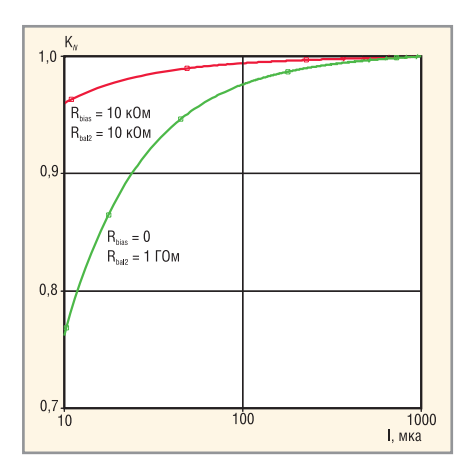


Рис. 13. Зависимость нормированного коэффициента передачи K_{N} от тока, протекающего через резистор R_{IN}

Исходя из схемы рис. 12 и соотношения (3), можно утверждать, что:

$$V_{\text{BE2}} = V_{\text{BE3}} = V_{\text{BE4}} = V_{\text{BE5}} = V_{\text{BE6}} = V_{\text{BE7}} = V_{\text{BIAS1}} - V_{\text{OUT}} = V_{\text{BE1}}.$$
 (4)

Если транзисторы $Q_1 - Q_7$ имеют идентичную температуру и параметры IS, NF, можно записать (пренебрегая током базы):

$$I_{C1} = I_{C2} = I_{C3} = I_{C4} =$$

$$= I_{C5} = I_{C6} = I_{C7} \approx \frac{V_{IN}}{R_{N}}, \qquad (5)$$

$$I_{\text{LOAD1}} = I_{\text{C8}} + I_{\text{C9}} \approx 2I_{\text{IN}} \approx \frac{2V_{\text{IN}}}{R_{\text{IN}}},$$
 (6)

$$\begin{split} I_{\text{LOAD2}} &= I_{\text{C10}} + I_{\text{C11}} + I_{\text{C12}} + \\ &+ I_{\text{C13}} \approx 4 \, I_{\text{IN}} \approx \frac{4 \, V_{\text{IN}}}{R_{\text{IN}}}, \end{split} \tag{7}$$

где $I_{
m LOAD1}, I_{
m LOAD2}$ – ток, протекающий через нагрузку ${
m R}_{
m LOAD1}, {
m R}_{
m LOAD2}.$

Идентичность электрических параметров и температур транзисторов, расположенных рядом на одной полупроводниковой подложке, довольно высока [6], поэтому наибольшее влияние на точность выполнения соотношений (6) и (7) оказывают значения коэффициента передачи тока биполярного транзистора, входной ток и напряжение смещения ОУ. С целью увеличения линейности преобразования входного напряжения $V_{\rm IN}$ в ток $I_{\rm LOAD1}$, $I_{\rm LOAD2}$ или, другими словами, стабилизации коэффициента передачи тока (K_{11} = = $I_{
m LOAD1}/I_{
m IN}, K_{
m I2}$ = $I_{
m LOAD2}/I_{
m IN}$), в управляемом источнике тока используется программируемый ОУ с балансировкой напряжения смещения (Rbal₂ = = 10 кОм на рисунке 12) и минимально возможным входным током ($I_{
m BIAS}$ = = 0,23 мкА при $R_{\rm bias}$ = 10 кОм). Как следует из результатов моделирования, показанных на рисунке 13, нормированная величина коэффициента передачи тока $K_N = K_{11}/\max(K_{11})$ в диапазоне токов от 50 мкА до 1 мА отличается от максимальной менее чем на 1%. В указанном диапазоне токов без балансировки напряжения смещения (Rbal₂ = 1 ГОм) и при максимальном входном токе ОУ (Rbias = 0) величина $K_{\rm N}$ отличается от максимальной на 4,8%. При номинальном токе $I_{\rm IN}$ = 100 мкА коэффициенты передачи K_{I1} = 1,93 и K_{I2} = 3,86.

В заключение отметим, что совместное использование управляемого источника тока и схем, показанных на рисунках 3 и 4, позволяет реализовать на БМК управляемый током генератор, формирующий треугольные и прямоугольные сигналы с частотой от 1 Гц до 40 МГц.

Литература

- 1. *Мерфи Е*. Все о синтезаторах DDS. Компоненты и технологии. 2005. № 1. С. 28–32.
- 2. http://www.compitech.ru/html.cgi/arhiv/01 07/stat 50.htm.
- Титце У. Полупроводниковая схемотехника: Справочное руководство. Мир, 1982.
- 4. Дворников О.В. Схемотехника биполярно-полевых аналоговых микросхем. Часть 1. Особенности электрических параметров элементов современных ИС. Chip News. 2004. № 9. С. 18–25.
- Дворников О.В. Аналоговый биполярно-полевой базовый матричный кристалл с расширенными функциональными возможностями. Chip News. 1999. № 2. С. 21–24.
- Абрамов И.И. Проектирование аналоговых микросхем для прецизионных измерительных систем. Минск, 2006.
- Дворников О.В. Программируемый счетверенный операционный усилитель для универсального фильтра. Актуальные проблемы твердотельной электроники и микроэлектроники: тезисы докладов 8-й М.н.т.к. Таганрог, 2002. С. 68–69.
- 8. Дворников О.В. Микросхема АФ011В для высокоточных временных измерений. Chip News. 2003. № 7. С. 8–21.
- Приложение к статье «Программируемый широкополосный генератор». http://www.soel.ru.
- 10. *Разевиг В.Д.* Система проектирования OrCAD 9.2. Солон-Р. 2003.
- Дворников О.В. Схемотехника биполярно-полевых аналоговых микросхем.
 Часть 2. Высокоточные повторители тока. Chip News. 2004. № 10. С. 40–45.
- 12. Дворников О.В. Схемотехника биполярно-полевых аналоговых микросхем. Часть. 3. Источники тока, управляемые током с нерегулируемым коэффициентом передачи. Chip News. 2005. № 1. С. 12–15.

Hовости мира News of the World Новости мира

Sony разработала гибридный топливный элемент

Корпорация Sony на международной конференции Small Fuel Cells 2008, которая проходила с 30 апреля по 2 мая в Атланте (США), продемонстрировала гибридный топливный элемент небольших размеров.

Источник питания настолько мал, что может поместиться на ладони, его размеры 50×30 мм. Sony впервые представила подобный гибридный топливный элемент. В устройстве совмещены: компактный ионнолитиевый аккумулятор, управляющая микросхема и топливный элемент DMFC-типа. В элементах DMFC-типа (Direct Metanol Fuel

Cell) роль топлива играет водный раствор метанола, разделенный мембраной-катализатором с кислородом. Одна сторона этой мембраны играет роль катода, а другая — анода. Вступая в реакцию с анодным слоем, метанол ионизируется, его электроны при этом создают ток, а положительно заряженные ионы, взаимодействуя с кислородом, образуют воду.

В продемонстрированном на конференции Small Fuel Cells 2008 источнике питания Sony применена активная топливная система, в которой подача метанола регулируется миниатюрным насосом. Sony отмечает, что выходная мощность может достигать

3 Вт, чего достаточно для питания портативных устройств в режиме максимальных нагрузок. При этом резервуара с десятью миллилитрами метанола, как утверждается, будет достаточно для просмотра на экране мобильного телефона телевизионных передач в течение 14 ч.

Sony планирует наладить массовый выпуск гибридных топливных элементов, однако сроки их появления в продаже пока не уточняются. Источники питания нового типа могут найти применение в карманных медиаплеерах, сотовых телефонах, мобильных интернет-устройствах и прочих гаджетах.

www.tfot.info